



مدل‌سازی عددی جریان اسلامگ در کanal‌های افقی و مایل با استفاده از مدل دوسيالی هيپربوليک

محمد رضا انصاری^{۱*}, عبدالحسین دارمی زاده^۲

۱- دانشیار مهندسی مکانیک، دانشگاه تربیت مدرس، تهران

۲- دانشجوی دکترا مهندسی مکانیک، دانشگاه تربیت مدرس، تهران

* تهران، صندوق پستی ۱۴۱۱۵-۱۴۳، mra_1330@modares.ac.ir

چکیده- در این مقاله، یک متدولوژی برای مدل‌سازی آغازش اسلامگ و همچنین رشد آن در کanal‌های افقی و مایل ارائه شده است. مبنای این مدل‌سازی حل عددی معادلات مدل دوسيالی هيپربوليک به وسیله یکی از روش‌های عددی تبخیر شاک مرتبه بالا می‌باشد. مزیت این روش این است که رشد و تشکیل رژیم اسلامگ از رژیم لایه‌ای را به صورت اتوماتیک و به عنوان خروجی از حل معادلات دیفرانسیل میدان مدل می‌کند. به منظور صحبت‌سنگی کد کامپیوترا مسئله استاندارد دوفازی و اتر فاوت حل گردید که نتایج حاصل بیانگر دقیق بالای مدل‌سازی و تطبیق و همگرایی خوب جواب‌ها با حل تحلیلی است. نتایج مربوط به مدل‌سازی جریان اسلامگ در کanal با نتایج تجربی آزمایشگاهی و یک سری حل عددی مقایسه گردید و مطالعه همگرایی شبکه محاسباتی هم صورت پذیرفت. نتایج حاصل از مدل‌سازی اسلامگ بیانگر دقیق بالا و کفایت و قابلیت مدل در پیش‌بینی تبخیر و ردگیری موقعیت مکانی اسلامگ در کanal است.

کلیدواژگان: مدل دوفشاری، مدل دوسيالی، شرایط هيپربوليک، جریان اسلامگ، AUSM

Numerical modeling of two-phase slug flow in horizontal and inclined channels using hyperbolic two fluid model

M. R. Ansari^{1*}, A. Daramizadeh²

1- Assoc. Prof., Mech. Eng., Tarbiat Modares Univ., Tehran, Iran

2- PhD student, Mech. Eng., Tarbiat Modares Univ., Tehran, Iran

* P. O. B. 14115-143 Tehran, mra_1330@modares.ac.ir

Abstract- This paper presents a new and accurate methodology for transient and dynamic behavior of slug hydrodynamic instability modeling in horizontal and inclined channels. The base of this methodology is on numerical solution of hyperbolic two fluid model equations by means of a class of high resolution shock capturing methods. The privilege of this method is that it can model and predict initiation and growth of slug in stratified flow automatically and directly by solving the flow field differential equations. The well-defined test case considered for the verification and validation of the results is the Ransom Water Faucet case. The results obtained for slug flow modeling in horizontal duct were compared with two sets of experimental results. The good agreement of the present modeling results with the experimental results of own and other investigators and also grid independency study show the model is capable of slug tracking and slug capturing and the numerical method which is used here can predict with high enough accuracy.

Keywords: Two-Pressure Model, Two-Fluid Model, Hyperbolic Condition, Slug Flow, AUSM

۱- مقدمه

مدل حالت پایدار ساده‌ترین و در عین حال عمومی‌ترین روش برای مدل‌سازی اسلامگ می‌باشد. در این مدل، خاصیت نوبتی^۱ جریان اسلامگ به خاصیت تناوبی^۲ تقلیل می‌یابد. جریان به صورت کاملاً توسعه‌یافته درنظر گرفته می‌شود. بنابراین ساختار پیچیده جریان اسلامگ به یک "واحد سلولی معادل"^۳ تبدیل می‌شود که شامل یک اسلامگ مایع و یک حباب تیلور می‌باشد^۴. این روش بر پایه فرض رفتار یکنواخت و جریان کاملاً توسعه‌یافته است. روش واحد سلول اطلاعات نسبتاً خوبی راجع به میانگین کسر حجمی و افت فشار می‌دهد، ولی توانایی پیش‌بینی رفتار دینامیکی موج یا اسلامگ مانند روند رشد موج و شکل‌گیری اسلامگ را ندارد. روش دیگر مدل‌سازی اسلامگ بر اساس ردگیری اسلامگ بر پایه روابط تجربی و فرضیات فراوان استوار است. که از آن جمله می‌توان به کارهای تایتل و همکاران^[۲]، نایدال و همکاران^[۳]، ژولاس^[۴]، هو و همکاران^[۵] و لیبیک و نایدال^[۶] اشاره نمود. در این روش، اسلامگ به عنوان یک شی متغیر که دارای مرز است فرض می‌شود. از جمله فواید این روش نسبت به روش واحد سلول می‌توان به دستیابی توزیع طول اسلامگ، بدون استفاده از روابط بر اساس داده‌های آماری آزمایشگاهی، اشاره نمود.

یکی دیگر از تکنیک‌های تسخیر اسلامگ، روش حل عددی بر پایه مدل‌های دوسیالی است. از جمله کدهایی که با این شیوه توسعه یافته‌اند، می‌توان به کد معروف الگا^[۷,۸] اشاره کرد. از کارهای صورت گرفته برای مدل‌سازی جریان اسلامگ با مدل دوسیالی می‌توان به عیسی و کمف^[۹]، بونیزی و عیسی^[۱۰]، بونیزی و همکاران^[۱۱]، انصاری^[۱۲]، کادری و همکاران^[۱۳] و مدل‌سازی جریان کانال با موج‌های بزرگ توسط هلمس^[۱۴] و صلحی و همکاران^[۱۵] اشاره کرد. این کارها اغلب بر پایه روش‌های عددی قدیمی مانند حجم محدود و حل ماتریس‌های زمان‌بر به روش ضمنی بوده‌اند. مدل دوسیالی به کار گرفته شده نیز تکفشاری و بر پایه فرض فشارهای هیدرواستاتیک بوده که منجر به بروز مشکلات ناشی از حالت بدرفتار می‌شد. زمان بسیار زیاد حل با این روش‌ها نیز باعث شده است که استفاده عملی از این روش‌ها غیرممکن شده و محققان استقبال لازم را از آن‌ها به عمل نیاورند.

جریان اسلامگ^۱ در بسیاری از کاربردهای مهندسی، که شامل دو فازند، نظری خطوط لوله انتقال نفت و گاز، صنایع فرایندی و هیدروکربن‌ها، جریان بخار در نیروگاه‌های حرارتی و هسته‌ای و خطوط لوله انتقال آب اتفاق می‌افتد. طبیعت گذرا رژیم اسلامگ (که در اثر گذار از رژیم لایه‌ای به موجی اتفاق می‌افتد) و همچنین وجود فصل مشترک تغییرشکل‌پذیر بین دو فاز مدل‌سازی این نوع جریان را پیچیده کرده است. نفتی که از سکوهای دور از ساحل به دست می‌آید ترکیب پیچیده‌های از گاز، نفت و آب است. یک رژیم معمول در این نوع خطوط انتقال رژیم اسلامگ می‌باشد که در این رژیم سیال به صورت متناوب در طول لوله، به صورت توده‌های مرکز که اسلامگ نامیده می‌شود، جریان دارد. این جریان پیچیده در تمام محدوده‌های شبیه لوله و در محدوده وسیعی از نرخ جریان گاز-مایع وجود دارد. این رژیم جریان به صورت ذاتی ناپایدار است. حتی اگر نرخ جریان گاز و مایع در یک مقدار پایدار ثابت نگه داشته شود، دبی جرمی، سرعت فازها و فشار، در هر سطح مقطع عمود بر محور لوله، نسبت به زمان، به مقدار زیادی تغییر خواهد کرد. در نتیجه، فرایندهایی نظری انتقال جرم و حرارت به صورت ناپایدار در می‌آیند و تغییرات قابل توجهی در پروفیل های دما و غلظت سیستم اتفاق می‌افتد. این امر باعث خوردگی و فرسودگی لوله‌ها و خسارات ناشی از رزنانس ارتعاشاتی می‌شود. سیستم‌های خط لوله باید توانایی مقاومت در برابر طبیعت نوسانی اسلامگ را داشته باشند. متأسفانه، با وجود اینکه پنج دهه از مطالعات مرکز روی این جریان پیچیده می‌گذرد، فهم کاملی از مکانیزم این رژیم جریان وجود ندارد و حل‌های عددی صورت پذیرفته نیز یا بر پایه حل ماتریس‌های محاسباتی زمان‌بر یا بدرفتار^۲ بوده و یا بر پایه فرضیات ساده‌کننده زیاد و روابط تجربی و آماری استوار است.

طبق بررسی‌های صورت گرفته، سه روش برای مدل‌سازی اسلامگ در مقالات پیشنهاد شده است:

- مدل‌های حالت پایدار^۳

- مدل ردگیری اسلامگ^۴

- مدل تسخیر اسلامگ با استفاده از مدل دوسیالی^۵

1. Slug

2. Ill posed

3. Steady state models

4. Slug-tracking models

5. Slug-capturing using two-fluid models

6. Intermittency

7. Periodically

8. Equivalent cell unit

- عدم نیاز به تحلیل مشخصه‌ای یا گسسته‌سازی ناحیه به ناحیه
 - توانایی خوب تسخیر ناپیوستگی‌های میدان جریان
 - زمان کمتر محاسبه نسبت به روش‌های گودونوف
 - سادگی کاربرد آن
- اهداف این مقاله را می‌توان به طور خلاصه در دو مورد ذیل خلاصه نمود:
- اثبات و نشان دادن توانایی و قابلیت مدل هیپربولیک هفت معادله‌ای دوفشاری و روش عددی حاضر در مدل سازی رژیم جریان اسلامگ
 - مطالعه رفتار جریان اسلامگ در کانال و ردگیری دقیق موقعیت لحظه‌ای اسلامگ
- در بخش ۲ این مقاله معادلات حاکم بر مدل دوسیالی هفت معادله‌ای و معادلات حالت مورد نیاز ارائه خواهد شد.
- AUSMDV روش گسسته‌سازی شار عددی بر اساس روش و گسسته‌سازی جدید برای جمله‌های ناپایستار و رویه آسایش فشار در بخش ۳ خواهد آمد.
- ارتقا به دقت مرتبه ۲ بر اساس استراتژی رنگ-کوتا^۱ و تکنیک هنکاک^۲ در بخش ۴ شرح داده خواهد شد. مسائل مختلف و معروف دوفشاری و مدل سازی جریان اسلامگ به همراه مقایسه با نتایج آزمایشگاهی و عددی قبلی در بخش ۵ و بحث و بررسی نتایج در بخش ۶ خواهد آمد.

۲- مدل دوفشاری هفت معادله‌ای

این مدل تحت عنوان مدل هفت معادله‌ای تراکم‌پذیر چندفازی/ چندسیالی ساولر-آبگرال^۳ [۱۷] معروف است. در کار حاضر جمله‌های اصطکاکی برای افزایش پایداری و توانایی مدل در مدل سازی جریان‌های لایه‌ای و اسلامگ اضافه شده‌اند. معادلات به شرح ذیل است:

معادلات بقای جرم برای فاز گاز و مایع:

$$\frac{\partial}{\partial t}(\rho_g \alpha_g) + \frac{\partial}{\partial x}(\rho_g \alpha_g v_g) = 0 \quad (1)$$

$$\frac{\partial}{\partial t}(\rho_l \alpha_l) + \frac{\partial}{\partial x}(\rho_l \alpha_l v_l) = 0 \quad (2)$$

مدل دوسیالی نخست توسط ایشی^[۱۶] معرفی شد. در این مدل فشارهای دو فاز به صورت یکسان درنظر گرفته شد. ریشه‌های معادله مشخصه این مدل مختلط است و بنابراین سیستم معادلات آن هیپربولیک نمی‌باشد و بدرفتار است. در حالت بدرفتار بر اساس شرایط اولیه و اطلاعات مربوط به حل عددی در یک گام زمانی، امکان پیش‌بینی جواب در گام‌های بعدی میسر نمی‌باشد و غالباً نوسانات در حل ظاهر می‌شوند. این نوسانات اغلب به صورتی هستند که با افزایش تعداد شبکه به صورت غیرقابل کنترل و نامحدود در می‌آیند.

تا کنون تلاش‌های فراوانی برای رفع یا کاهش مشکل بدرفتاری دوسیالی صورت پذیرفته است که از آن جمله به اضافه نمودن ترم‌های جرم مجازی، تنش برشی مجازی، تنش برشی با دیواره‌ها، تخمین جمله تصحیح فشار و اضافه نمودن تنش سطحی به مدل می‌توان اشاره کرد. در این مقاله، برای نخستین مرتبه، از مدل دوسیالی هیپربولیک دوفشاری برای مدل سازی جریان اسلامگ در کانال استفاده شد. مدل‌های دوفشاری هیپربولیک بوده و دارای ریشه‌های معادله مشخصه حقیقی‌اند. نخستین مدل دوفشاری بی‌قیدوشرط هیپربولیک توسط ساولر و آبگرال^[۱۷] ارائه شد. این مدل در واقع توسعه یافته و اصلاح شده مدل بائر و نونزیاتو^[۱۸] است. مدل ساولر و آبگرال یک مدل هفت معادله‌ای است. یکی از مشکلات کار با این مدل وجود ترم‌های ناپایستار در معادلات ممتد و انرژی است. این ترم‌ها نه شار عددی به حساب می‌آیند و نه ترم‌های چشم‌هه هستند.

در این مقاله، از یک تکنیک جدید پیشنهادشده توسط پرس^[۱۹] برای گسسته‌سازی ترم‌های ناپایستار استفاده شد که نتایج مثبتی در خصوص کاهش نوسانات عددی و تقریب صحیح این ترم‌ها دارد. در حال حاضر کاربرد روش‌های عددی دقت بالای تسخیر شاک در مدل سازی مسائل دینامیک گاز تکفاز معمول شده است. لیکن تا کنون در بحث مدل سازی جریان‌های لایه‌ای و اسلامگ با این روش‌ها مطالعه‌ای گزارش نشده است. در این تحقیق، از روش عددی AUSMDV^[۱] که روشی آسان، سریع و با دقت بالا به حساب می‌آید و مدل دوسیالی دوفشاری هفت معادله‌ای استفاده شد. از مزایای روش AUSMDV^[۲۰-۲۵] می‌توان به موارد زیر اشاره کرد:

2. Runge-Kuta
3. Hancok

1. Advection Upstream Splitting Method

$$\begin{aligned} P_l &= (\gamma_l - 1) \rho_l e_l - \gamma_l P_{\infty,l} \\ P_g &= (\gamma_g - 1) \rho_g e_g \end{aligned} \quad (10)$$

برای انرژی درونی گاز و مایع از رابطه (11) استفاده شد:

$$\begin{aligned} e_g(\rho_g, T_g) &= \frac{R_g}{\gamma_g - 1} T_g \\ e_l(\rho_l, T_l) &= \frac{c p_l}{\gamma_l} T_l + \frac{P_{\infty,l}}{\rho_l} \end{aligned} \quad (11)$$

$$C_{p,g} = 100 \text{ kJ/kgK}, C_{p,l} = 4186 \text{ J/kgK}, P_{\infty,l} = 6 \times 10^5 \text{ Pa}$$

برای $R_g = 288/2 \text{ J/kgK}$ و $\gamma_g = 1/4$ ، $\gamma_l = 1/8$ است.

سرعت صوت رابطه $c_k = ((\gamma_k - 1) C_{p,k} T_k)^{1/2}$ به کار برده شد. جمله تصحیح فشار $(P_k - P_i)$ ، که بیانگر تاثیرات هیدرواستاتیکی و تنش‌های سطوح مشترک است، برای مدل‌سازی و محاسبه فشار فصل مشترک P_i به کار گرفته شد. بدین منظور از رابطه پیشنهادی بسشن [۲۴] استفاده شد. در این معادله مقدار δ مساوی $1/2$ است.

$$\Delta P = P_g - P_i = \delta \frac{\alpha_g \alpha_l \rho_g \rho_l}{\rho_g \alpha_l + \rho_l \alpha_g} (v_g - v_l)^2 \quad (12)$$

روابط ساختاری، که در مدل دوسیالی جهت بسته‌شدن معادلات مورد نیازند، شامل تنش گاز با دیوار τ_g ، تنش گاز مایع با دیوار τ_l و تنش در فصل مشترک دو فاز τ_i می‌باشند که به ترتیب از روابط معروف زیر استفاده می‌شود:

$$\tau_g = \frac{1}{2} f_g \rho_g V_g |V_g| \quad (13)$$

$$\tau_l = \frac{1}{2} f_l \rho_l V_l |V_l| \quad (14)$$

$$\tau_i = \frac{1}{2} f_I \rho_g (V_g - V_l) |V_g - V_l| \quad (15)$$

با توجه به روابط (13)، (14) و (15)، ملاحظه می‌شود که برای محاسبه تنش‌ها باید فاکتورهای اصطکاکی فانینگ^۳ یعنی f_I ، f_l و f_g محاسبه شوند که در بخش ۵ آرائه می‌شود.

۳- روش عددی تقسیم شار ترکیبی

در روش تقسیم بردار شار^۳ جمله شار پایستار جرم، ممنتم و انرژی به صورت رابطه (16) نوشته می‌شود:[۲۰، ۲۲]

2. Fanning
3. Flux vector splitting

معادله بقای ممنتم برای فاز گاز:

$$\begin{aligned} \frac{\partial(\alpha_g \rho_g v_g)}{\partial t} + \frac{\partial(\alpha_g \rho_g v_g \cdot v_g)}{\partial x} + \frac{\partial}{\partial x}(\alpha_g P_g) \\ = P_i \frac{\partial \alpha_g}{\partial x} - \tau_i S_i - \tau_g S_g + Q_g \end{aligned} \quad (3)$$

معادله بقای ممنتم برای فاز مایع:

$$\begin{aligned} \frac{\partial(\alpha_l \rho_l v_l)}{\partial t} + \frac{\partial(\alpha_l \rho_l v_l \cdot v_l)}{\partial x} + \frac{\partial}{\partial x}(\alpha_l P_l) \\ = P_i \frac{\partial \alpha_l}{\partial x} - \tau_i S_i - \tau_l S_l + Q_g \end{aligned} \quad (4)$$

معادلات بقای انرژی دو فاز:

$$\begin{aligned} \frac{\partial(\alpha_g \rho_g E_g)}{\partial t} + \frac{\partial v_g (\alpha_g \rho_g E_g + \alpha_g P_g)}{\partial x} \\ = P_i V_i \frac{\partial \alpha_g}{\partial x} + \mu P_i (P_g - P_l) \end{aligned} \quad (5)$$

$$\begin{aligned} \frac{\partial(\alpha_l \rho_l E_l)}{\partial t} + \frac{\partial v_l (\alpha_l \rho_l E_l + \alpha_l P_l)}{\partial x} \\ = P_i V_i \frac{\partial \alpha_l}{\partial x} - \mu P_i (P_g - P_l) \end{aligned} \quad (6)$$

معادله ارزیابی تغییرات کسر حجمی:

$$\frac{\partial \alpha_g}{\partial t} + V_i \frac{\partial \alpha_g}{\partial x} = \mu (P_g - P_l) \quad (7)$$

که برای فاز k ، ρ_k چگالی، P_k فشار، v_k سرعت، α کسر حجمی و Q_k ترم چشمی در معادلات ممنتم است. برای فشار P_i فشار فصل مشترک و V_i سرعت فصل مشترک بوده و بر اساس رابطه پیشنهادی ساول و آبگرال به صورت معادله (8) ارائه می‌شود:

$$V_i = \frac{\alpha_g \rho_g v_g + \alpha_l \rho_l v_l}{\alpha_g \rho_g + \alpha_l \rho_l} \quad (8)$$

برای بستن معادلات نیاز به یک رابطه اضافی دیگر به صورت زیر است:

$$\alpha_g + \alpha_l = 1 \quad (9)$$

عبارت است از انرژی کل و به صورت E_K نوشته می‌شود. e_k انرژی درونی فازهای گاز و مایع است. برای فشار مایع از معادله حالت استینفند^۱ و برای گاز از معادله حالت گاز کامل به صورت رابطه (10) استفاده گردید:

1. Stiffened equation of state

$$\left[F_{j+\frac{1}{\gamma}} \right]_V - 1-3$$

در روش AUSMD، معادلات بقای جرم و ممنتوم به صورت معادلات (۲۴) و (۲۵) نوشته می شوند. جمله های معادله بقای جرم به صورت زیر گسته سازی می شود:

$$(\rho\alpha v)_{\frac{1}{\gamma},AUSMD} = (\rho\alpha)_L V_L^+ + (\rho\alpha)_R V_R^- \quad (24)$$

جمله های معادله بقای ممنتوم به صورت زیر گسته سازی می شود:

$$\begin{aligned} (\rho\alpha v')_{\frac{1}{\gamma},AUSMD} &= \frac{1}{2} [(\rho\alpha v)_{\frac{1}{\gamma}} (v_L + v_R) \\ &\quad - \frac{1}{2} |(\rho\alpha v)_{\frac{1}{\gamma}}| (v_R - v_L)] \end{aligned} \quad (25)$$

در روش AUSMV، معادلات بقای جرم و ممنتوم به صورت معادلات (۲۶) و (۲۷) نوشته می شود. جمله های معادله بقای جرم به صورت زیر گسته سازی می شود:

$$(\rho\alpha v)_{\frac{1}{\gamma},AUSMV} = (\rho\alpha)_L V_L^+ + (\rho\alpha)_R V_R^- \quad (26)$$

جمله های معادله بقای ممنتوم به صورت زیر گسته سازی می شود:

$$(\rho\alpha v')_{\frac{1}{\gamma},AUSMV} = V_L^+ \cdot (\rho\alpha v)_L + V_R^- \cdot (\rho\alpha v)_R \quad (27)$$

ترم های معادله بقای انرژی به صورت زیر جداسازی می شود:

$$\begin{aligned} v(\rho\alpha E + \alpha P)_{1/2} &= (\rho\alpha E + \alpha P)_L V_L^+ \\ &\quad + (\rho\alpha E + \alpha P)_R V_R^- \end{aligned} \quad (28)$$

ضریب وزنی سرعت در روش AUSMV و AUSMD به صورت زیر نوشته می شود:

$$V^\pm = \begin{cases} \chi_{L/R} \left(\pm \frac{1}{4c} (v \pm c)^{\gamma} - \frac{v \pm |v|}{2} \right) + \frac{v \pm |v|}{2} & \text{if } |v| < c \\ \frac{1}{2} (v \pm |v|) & \text{otherwise} \end{cases} \quad (29)$$

تابع χ که در معادله (۲۹) ظاهر شده است به صورت زیر تعریف می شود:

$$\chi_L = \frac{2 \left(\frac{\rho}{\alpha} \right)_L}{\left(\frac{\rho}{\alpha} \right)_L + \left(\frac{\rho}{\alpha} \right)_R}, \quad \chi_R = \frac{2 \left(\frac{\rho}{\alpha} \right)_R}{\left(\frac{\rho}{\alpha} \right)_L + \left(\frac{\rho}{\alpha} \right)_R}$$

$$(\psi v)_{j+\frac{1}{\gamma}} = V_j^+ \psi_j + V_{j+\frac{1}{\gamma}}^- \psi_{j+1} \quad (16)$$

در این گسته سازی، ضریب وزنی سرعت بالادست و پایین دست به صورت رابطه (۱۷) نوشته می شود:

$$V^\pm = \begin{cases} \pm \frac{1}{4c} (v \pm c)^\gamma & \text{if } |v| \leq c \\ \frac{1}{2} (v \pm |v|) & \text{otherwise} \end{cases} \quad (17)$$

در این روش، شار عددی F ترکیبی از ترم های بالادست و پایین دست است و به صورت رابطه (۱۸) نوشته می شود:

$$F = F^+(U_L) + F^-(U_R) \quad (18)$$

رابطه (۱۷) به نحوی است که شرط زیر را ارضامی نماید:

$$V = V^+(v, c) + V^-(v, c) \quad (19)$$

که c سرعت صوت در مخلوط دوفازی است و در اینجا با تعريف یک رابطه بر پایه نسبت α/ρ یک رابطه برای سرعت صوت به دست می آید:

$$\left(\frac{\alpha_l}{\rho_l} \right) \frac{1}{c_l^\gamma} + \left(\frac{\alpha_g}{\rho_g} \right) \frac{1}{c_g^\gamma} = \left(\frac{\alpha_l}{\rho_l} + \frac{\alpha_g}{\rho_g} \right) \frac{1}{c^\gamma} \quad (20)$$

بعد از کمی عملیات ریاضی، می توان این رابطه را به صورت رابطه (۲۱) بازنویسی نمود [۲۳، ۲۲]:

$$c = \sqrt{\frac{\left(\frac{\alpha_l}{\rho_l} \right) + \left(\frac{\alpha_g}{\rho_g} \right)}{\left(\frac{\alpha_l}{\rho_l} \right) \frac{1}{c_l^\gamma} + \left(\frac{\alpha_g}{\rho_g} \right) \frac{1}{c_g^\gamma}}} \quad (21)$$

برای گسته سازی معادلات بقای جرم، ممنتوم و انرژی ابتدا معادلات به صورت زیر نوشته می شود:

$$\frac{\partial U}{\partial t} + \frac{\partial F}{\partial x} = S \quad (22)$$

معادله (۲۲) به صورت زیر گسته سازی می شود:

$$\frac{U_j^{n+1} - U_j^n}{\Delta t} + \frac{[F]_{j+\frac{1}{\gamma}}^n - [F]_{j-\frac{1}{\gamma}}^n}{\Delta x} = S_j^n \quad (23)$$

که در این نوشتار می توان هر جمله شار F را به دو قسمت شار فشاری و شار ممنتوم تقسیم نموده و آن را به صورت

$$F_{j+\frac{1}{\gamma}} = \left[F_{j+\frac{1}{\gamma}} \right]_P + \left[F_{j+\frac{1}{\gamma}} \right]_V \quad (24)$$

جزء معادله (۲۴) در ادامه بررسی می شود.

$$\int_0^t A(\varphi(s; u_L, u_R)) \frac{\partial \varphi}{\partial s}(s; u_L, u_R) ds \\ = A(u_L, u_R)_\varphi (u_L - u_R) \quad (36)$$

و

$$\varphi(\cdot; u_L, u_R) = u_L$$

$$\varphi(1; u_L, u_R) = u_R \quad (37)$$

در کار حاضر جمله ناپایستار، که در معادلات ممنتم ظاهر می شود، به صورت $P_i \frac{\partial \alpha}{\partial x}$ است. با انتگرال گیری از معادله (۳۶) بین u_L ، u_R و استفاده از شیوه بقا در راستای مسیر داریم:

$$\int_{U_L}^{U_R} P_i \frac{\partial \alpha}{\partial x} dx = \int_{\cdot}^1 P_i(s; P_{i,L}, P_{i,R}) \frac{\partial \alpha}{\partial s}(s; \alpha_L, \alpha_R) ds \\ = \overline{P_i}(P_{i,L}, P_{i,R})(\alpha_L - \alpha_R) \quad (38)$$

به منظور استفاده از شارهای روش AUSM بایستی رابطه (۳۸) بر اساس شارهای چپ و راست نوشتند شود. بر این اساس، طبق شیوه بقا در راستای مسیر، انتگرال رابطه (۳۸) بایستی معادل مجموع باقی مانده های^۱ چپ و راست گردد. این کار این امکان را به ما می دهد که گسسته سازی بر اساس ضریب وزنی فشاری روش AUSM ادامه پذیرد. در ادامه خواهیم داشت:

$$D_{j+\frac{1}{2}}^-(U_j^n, U_{j+1}^n) + D_{j-\frac{1}{2}}^+(U_{j-1}^n, U_j^n) \\ = \int_{\cdot}^1 P_i(s; P_{i,L}, P_{i,R}) \frac{\partial \alpha}{\partial s}(s; \alpha_L, \alpha_R) ds \quad (39)$$

باقی مانده ها به این صورت تعریف می شوند:

$$D^-(U_j, U_{j+1}) = F^-(U_{j+1}) - F^-(U_j) \quad (40)$$

$$D^+(U_j, U_{j-1}) = F^+(U_j) - F^+(U_{j-1}) \quad (41)$$

حال در ادامه کار یک متostگیری خطی بین دو وضعیت u_L ، u_R انجام می شود. بدین منظور یک مسیر خطی به صورت زیر تعریف می شود:

$$\varphi(s; U_L, U_R) = U_L + s(U_R - U_L) \quad (42)$$

با جایگذاری متغیرهای اولیه α و P_i به جای U در معادله (۴۲) خواهیم داشت:

روش AUSMDV ترکیبی از روش های AUSMD و AUSMV است و به صورت زیر تعریف می شود:

$$(\rho \alpha v^r)_{AUSMDV} = S \cdot (\rho \alpha v^r)_{AUSMV} \\ + (1-S) \cdot (\rho \alpha v^r)_{AUSMD} \quad (30)$$

بر اساس رابطه (۳۱) قابل محاسبه است.

$$S = \frac{1}{2} + \frac{1}{2} \min(1, 1 \cdot \frac{|P_R - P_L|}{\min(P_L, P_R)}) \quad (31)$$

۲-۳- تعریف شار عددی فشار

در روش عددی AUSMDV، برای گسسته سازی جملاتی که شامل مشتق فشارند، از یک ضریب وزنی فشاری استفاده می شود [۲۰، ۲۳]. این ضریب وزنی به صورت $P^\pm(v, c)$ نوشته می شود و در رابطه (۳۲) صدق می کند:

$$P^+(v, c) + P^-(v, c) = 1 \quad (32)$$

مقدار ضریب وزنی فشار به صورت رابطه (۳۳) تعریف می شود:

$$P^\pm(v, c) = V^\pm(v, c) \cdot \begin{cases} \frac{1}{c} \cdot (\pm 2 - \frac{v}{c}) & \text{if } |v| \leq c \\ \frac{1}{v} & \text{otherwise} \end{cases} \quad (33)$$

با استفاده از این ضریب وزنی جمله پایستار فشار $(\alpha \cdot p)_{j+\frac{1}{2}}$ به صورت رابطه (۳۴) به دست می آید:

$$(\alpha \cdot p)_{j+\frac{1}{2}} = P^+(v_j, c_{j+\frac{1}{2}})(\alpha \cdot p)_j \\ + P^-(v_{j+1}, c_{j+\frac{1}{2}})(\alpha \cdot p)_{j+1} \quad (34)$$

۳-۳- مدل سازی جمله غیر پایستار فشار

با تبعیت از پرس [۱۹] یک مسئله عمومی ناپایستار در نظر گرفته می شود:

$$\frac{\partial u}{\partial t} + A(u_L, u_R)_\varphi \frac{\partial u}{\partial x} = 0 \quad (35)$$

φ یک مسیر صاف است که دو وضعیت u_L ، u_R بین یک ناپیوستگی را به هم متصل می کند. این تئوری بر اساس روش باقی مانده ای مسیر است. ماتریس $A(u_L, u_R)_\varphi$ بایستی رابطه زیر را ارضاء نماید:

شایان ذکر است که مقدار مشخص و معینی برای پارامتر آسایش فشار μ وجود ندارد. در خصوص بررسی تاثیر تغییر این پارامتر بر روی حل می‌توان به مطالعات مانکجورد [۲۸، ۲۷] اشاره نمود. در مطالعات ایشان، مقدار پارامتر μ به ازای مقادیر ۰ تا ۱۰۰٪ تغییر داده و تاثیر آن بر روی دقت حل بررسی شد. نتایج بدست آمده حاکی از آن بود که به ازای مقادیر کم μ جواب‌ها انحراف زیادی از حل تحلیلی و حل واقعی مسئله داشتند، لیکن با زیادشدن مقدار μ بر دقت جواب‌ها افزوده شد. این نتیجه با نظریه مشهور ساول و آبگرال [۱۷] در حل مدل‌های دوفشاری به ازای میل دادن مقدار μ به سمت بینهایت ($\mu \rightarrow \infty$) سازگاری دارد.

در مطالعات مانکجورد [۲۸، ۲۷] نیز اثبات شد که دقیق‌ترین جواب‌ها به ازای آسایش لحظه‌ای حاصل می‌شود. لذا در این مقاله رویه آسایش لحظه‌ای فشار^۳ به عنوان شیوه محاسبه فشار استفاده می‌شود.

در این مرحله، به منظور محاسبه فشار، پس از حل بخش هیپربولیک معادلات (۱) تا (۷) توسط حل‌گر هیپربولیک AUSMDV با استی روش زیر به عنوان رویه آسایش فشار اعمال شود. بدین منظور پس از تخمین اولیه پارامترها و حل معادلات ۱ تا ۷ توسط حل‌گر هیپربولیک، با استی کسر حجمی با کمک معادله (۵۰) به صورت $\alpha = \alpha^* + M$ محاسبه و اصلاح شده و سپس مقادیر مختلف پارامترها بر اساس آن مجدداً اصلاح شوند. در معادله زیر پارامترهایی که با ". نمایش داده شده‌اند مقادیر اولیه قبل از فرایند آسایش هستند.

$$M = \frac{-A_1 - \sqrt{A_1^2 - 4A_2 A_3}}{2A_3} \quad (50)$$

که ضرایب این معادله طبق رابطه (۵۱) است.

$$\begin{aligned} A_1 &= \frac{\gamma_l + 1}{2} \alpha_g^* P_g^* - \frac{\gamma_g + 1}{2} \alpha_l^* P_l^* \\ &\quad - \frac{\alpha_l^* (\gamma_g - 1) + \alpha_g^* (\gamma_l - 1)}{2} P_l^* \\ &\quad - (\alpha_l^* \gamma_g P_{g,\infty} + \alpha_g^* \gamma_l P_{l,\infty}) \\ A_2 &= \frac{\gamma_g - \gamma_l}{2} P_l^* + \frac{\gamma_l + 1}{2} \gamma_g P_{g,\infty} - \frac{\gamma_g + 1}{2} \gamma_l P_{l,\infty} \\ A_3 &= \alpha_g^* \alpha_l^* \Delta P^* \end{aligned} \quad (51)$$

2. Instantaneous pressure relaxation

$$\alpha(s) = \alpha_L + s(\alpha_R - \alpha_L) \quad (43)$$

$$P_i(s) = P_{i,L} + s(P_{i,R} - P_{i,L}) \quad (44)$$

با این فرضیه، جمله ناپایستار را می‌توان به صورت دقیق و واقعی انتگرال‌گیری کرد:

$$\int P_i \frac{\partial \alpha(s)}{\partial s} ds = \Delta \alpha \bar{P}_i \quad (45)$$

با استفاده از رابطه (۴۳) و (۴۴) و جایگذاری شارها بر اساس ضریب وزنی فشاری، باقی‌مانده‌های چپ و راست به صورت زیر تعریف می‌شوند:

$$D_{j+\frac{1}{2}}^- = (\bar{P}_i [\alpha_R P^-(U_R) - \alpha_L P^-(U_L)])_{j+\frac{1}{2}} \quad (46)$$

$$D_{j-\frac{1}{2}}^+ = (\bar{P}_i [\alpha_R P^+(U_R) - \alpha_L P^+(U_L)])_{j-\frac{1}{2}} \quad (47)$$

در نهایت گسسته‌سازی جمله ناپایستار به صورت رابطه (۴۸) ارائه می‌شود:

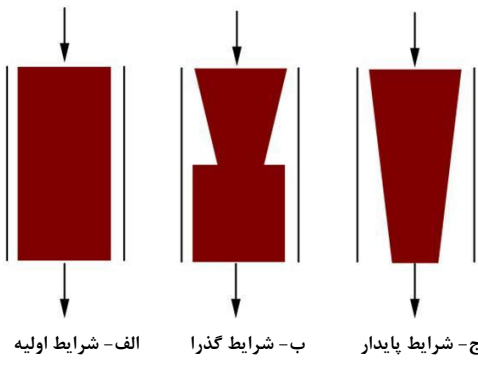
$$\left[P_i \frac{\partial \alpha}{\partial x} \right]_j = \frac{1}{\Delta x} \left(D_{j+\frac{1}{2}}^+ + D_{j-\frac{1}{2}}^- \right) \quad (48)$$

۴-۳- رویه آسایش فشار در مدل هفت معادله‌ای دوفشاری

به منظور آسایش فشار^۱ لحظه‌ای سیستم معادلات دیفرانسیل ۱ تا ۷، با استی دستگاه معادلات دیفرانسیل معمولی (۴۹) حل شود.

$$\begin{aligned} \frac{\partial \alpha_g}{\partial t} &= \mu (P_g - P_l) \\ \frac{\partial \alpha_g \rho_g}{\partial t} &= . \\ \frac{\partial \alpha_g \rho_g u_g}{\partial t} &= . \\ \frac{\partial \alpha_g \rho_g E_g}{\partial t} &= \mu P_i (P_g - P_l) \\ \frac{\partial \alpha_l \rho_l}{\partial t} &= . \\ \frac{\partial \alpha_l \rho_l u_l}{\partial t} &= . \\ \frac{\partial \alpha_l \rho_l E_l}{\partial t} &= -\mu P_i (P_g - P_l) \end{aligned} \quad (49)$$

1. Pressure relaxation



شکل ۱ مسئله واتر فاوست

اطراف آب، هوا با چگالی ۱ کیلوگرم بر متر مکعب و سرعت صفر متر بر ثانیه و کسر حجمی $1/2$ قرار دارد. فشار در خروجی لوله ۱ بار می‌باشد. شرایط مرزی ورودی و شرایط اولیه با هم برابر گرفته می‌شوند و برای شرط مرز خروجی شرط کاملاً توسعه یافته در نظر گرفته می‌شود.

زمانی که از تغییرات فشار در فاز گاز بتوان صرف نظر کرد،

این مسئله گذرا دارای حل تحلیلی زیر می‌باشد:

$$\alpha_L(x,t) = \begin{cases} \frac{\alpha_L^{inlet} V_L^{inlet}}{\sqrt{(V_L^{inlet})^2 + 2g(x - x^{inlet})}} & x \leq x^{inlet} + V_L^{inlet}t + \frac{g}{2}t^2 \\ \alpha_L^{inlet} & \text{otherwise} \end{cases} \quad (55)$$

α_L^{inlet} کسر حجمی فاز مایع در ورودی لوله است که برابر $1/8$ می‌باشد. V_L^{inlet} سرعت فاز مایع در ورودی لوله است که برابر 10 متر بر ثانیه می‌باشد. g شتاب جاذبه و x^{inlet} محل ورودی لوله می‌باشد که معمولاً صفر در نظر گرفته می‌شود. در این حالت بایستی به معادلات بقای ممنتم فاز گاز و مایع جمله چشممه زیر اضافه شود:

$$Q_K = g \rho_k \alpha_k \quad (56)$$

نتایج عددی به دست آمده با حل تحلیلی از طریق رابطه مقایسه شدنند. (55)

۱-۱-۵- مطالعه همگرایی جوابها

مطالعه همگرایی جوابها به وسیله افزایش تعداد شبکه‌های محاسباتی انجام شد و نتایج مقایسه‌ای آن در شکل ۲ ارائه شده است. نتایج ارائه شده شامل تغییرات کسر حجمی با حل دقت دو و استفاده از محدودکننده شیب MCD است.

۳-۵- دقت مرتبه دو زمانی و مکانی

دقت مرتبه دو مکانی با استفاده از استراتژی هنکاک به دست آمد. با استفاده از این استراتژی همنوایی^۱ مدل هم ابقا گردید. در این شیوه مقادیر فصل مشترک هر المان با استفاده از تقریب‌های خطی مربوط به المان‌های مجاور اصلاح و بازسازی می‌شود. بدین ترتیب از نوسانات عددی کاسته شده و دقت مرتبه دو حاصل می‌شود:

$$Q_{j+\frac{1}{2}}^L = Q_j^{n+\frac{1}{2}} + \frac{\Delta x}{2} \delta Q_j^n \quad (52)$$

$$Q_{j+\frac{1}{2}}^R = Q_{j+\frac{1}{2}}^{n+\frac{1}{2}} - \frac{\Delta x}{2} \delta Q_{j+1}^n \quad (52)$$

δQ_j محدودکننده شیب^۲ است. در کار حاضر متغیرهای اولیه به نسبت متغیرهای پایستار انتخاب شدند که عبارت‌اند از $\alpha, P_g, P_l, v_g, v_l, e_g, e_l$. در این کار از محدودکننده شیب MCD استفاده شد:

$$\delta Q_j = \min \text{mod} \left(\frac{Q_{j+1} - Q_{j-1}}{2\Delta x}, \frac{Q_j - Q_{j-1}}{\Delta x}, \frac{Q_{j+1} - Q_j}{\Delta x} \right) \quad (53)$$

برای دستیابی به دقت مرتبه دو زمانی از روش رونگ-کوتا استفاده شد که به شرح ذیل است:

$$Q^{(1)} = Q^n + \Delta t \cdot \mathcal{S}(Q^n) \quad (54)$$

$$Q^{n+1} = \frac{1}{3}Q^n + \frac{1}{3}Q^{(1)} + \frac{1}{3}\Delta t \cdot \mathcal{S}(Q^{(1)}) \quad (54)$$

که

$$\mathcal{S}(Q^n) = \frac{1}{\Delta x} \left(F^n(U^L, U^R)_{j+\frac{1}{2}} - F^n(U^L, U^R)_{j-\frac{1}{2}} \right) - S_j^n$$

۴- صحبت‌سنگی و مدل‌سازی عددی

۴-۱- مسئله واتر فاوست

این مسئله معروف^۳ توسط رنسم [۲۹] بیان شده است. یک لوله قائم به طول 12 متر و قطر 1 متر در نظر گرفته می‌شود (شکل ۱). در لحظه اولیه، لوله از آب با چگالی 1000 کیلوگرم بر متر مکعب و با سرعت 10 متر بر ثانیه به طور یکنواخت پر شده است.

1. Monotonicity
2. Slope limiter
3. Monotonized-Central Deference
4. Water Faucet Problem

فاکتور اصطکاکی فاز مایع و فصل مشترک، بسته به اینکه شکل فصل مشترک لایه‌ای-صف و یا لایه‌ای-موجی باشد، متفاوت است، ولی فاکتور اصطکاکی فاز گاز در هر دو حالت ذکر شده یکسان است.

در سرعت‌های بالای گاز ($U_g > 5 \text{ m/s}$) عیسی و همکاران [۳۰] بررسی نمودند که فرض برابر بودن فاکتور اصطکاکی فاز گاز و فصل مشترک دیگر اعتبار ندارد. در این حالت برای فاکتور اصطکاکی فصل مشترک از رابطه آندریتسوس و هانتری [۳۱] استفاده می‌شود:

$$f_l = f_g \left\{ 1 + 15 \left[\frac{j_g}{5} - 1 \right] \sqrt{\frac{h_l}{D}} \right\} \quad \text{where } j_g \geq 5 \text{ m/s} \quad (59)$$

در رابطه (۵۹) j_g سرعت ظاهری^۱ فاز گاز می‌باشد. فاکتور اصطکاکی فاز گاز با دیوار از رابطه (۶۰) محاسبه می‌شود. در مقاله حاضر سطح کanal زبر و با زبری نسبی $E = 4/61 \times 10^{-5} \text{ m}$ در نظر گرفته شده است.

$$f_g = \max \left[\frac{16}{Re_g}, 0.01375 \left[1 + \left[2 \times 10^4 \left(\frac{\varepsilon}{D_{hg}} \right) + \frac{1.6}{Re_g} \right]^{\frac{1}{2}} \right] \right] \quad (60)$$

فاکتور اصطکاکی فاز مایع با دیوار نیز با استفاده از روش ماکزیمم به صورت زیر در می‌آید [۳۱]:

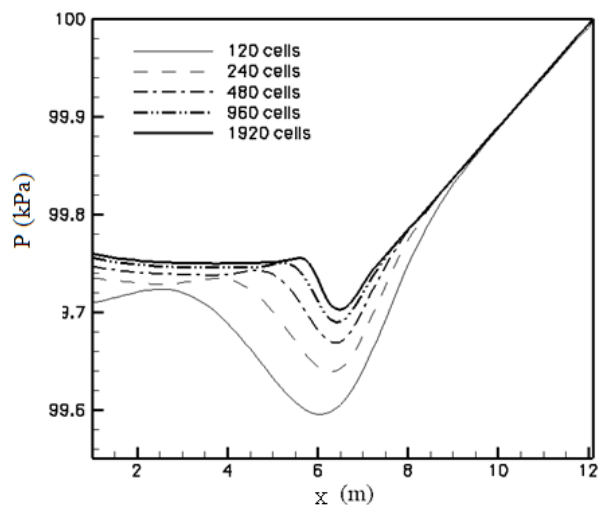
$$\begin{cases} f_l = \max \left[\frac{24}{Re_l}, \frac{0.783}{R_l} \sqrt{\frac{D_{hl}}{Re_l D}} \right] \quad \text{if } j_g > 5 \text{ m/s} \\ f_l = \max \left[\frac{16}{Re_l}, 0.01375 \left[1 + \left[2 \times 10^4 \left(\frac{\varepsilon}{D_{hl}} \right) + \frac{1.6}{Re_l} \right]^{\frac{1}{2}} \right] \right] \quad \text{otherwise} \end{cases} \quad (61)$$

در نهایت فاکتور اصطکاکی در فصل مشترک دو فاز با استفاده از روش ماکزیمم به صورت زیر بیان می‌شود [۳۱]:

$$\frac{f_l}{f_g} = \left\{ 1 + \max \left[0, 15 \left(\frac{j_g}{5} - 1 \right) \sqrt{\frac{h_l}{D}} \right] \right\} \quad (62)$$

۱-۲-۵- شرایط اولیه و مرزی
در زمان صفر، سطح آب صاف فرض شده و در شرایط صاف در نظر گرفته شده است. هوا و آب ورودی به صورت یک پله در

1. Superficial velocity

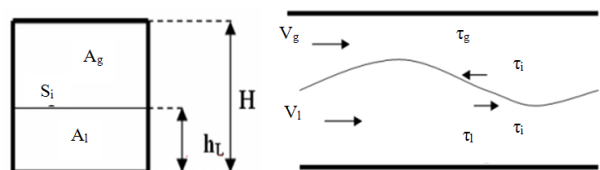


شکل ۲ توزیع فشار هوا برای مسئله واتر فاوست، مطالعه تأثیرات افزایش شبکه بر دقت حل

می‌توان مشاهده کرد که پرس‌های عددی با افزایش تعداد شبکه محاسباتی کاهش می‌یابد و نتایج تطابق خوبی با حل تحلیلی دارد.

۴-۵- حل جریان لایه‌ای در کanal

در این مرحله جریان لایه‌ای در یک کanal افقی مدل‌سازی شد (شکل ۳).



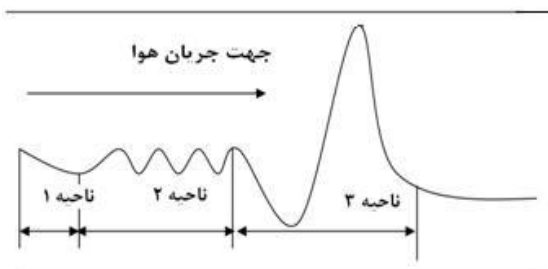
شکل ۳ شکل شماتیک جریان لایه‌ای در کanal

برای محاسبه فاکتورهای اصطکاکی فازهای گاز و مایع، معمولاً از روابطی که برای جریان‌های تک‌فاز وجود دارد استفاده می‌شود که در آن روابط به جای قطر داخلی از قطر هیدرولیکی مناسبی برای هر سیال استفاده می‌شود. همچنین، برای محاسبه عدد رینولدز از همان قطر هیدرولیکی استفاده می‌شود:

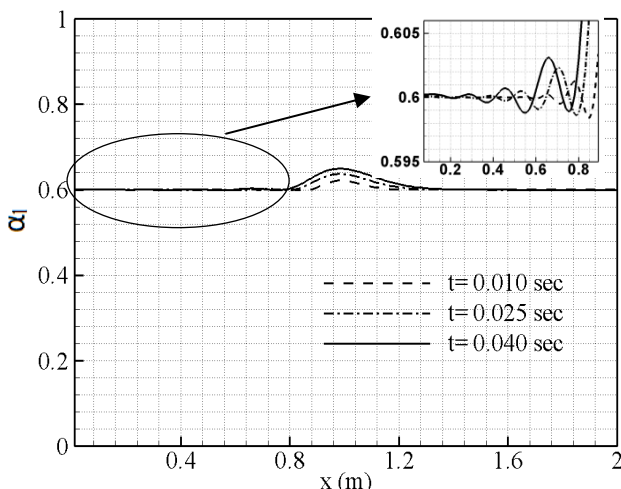
$$D_{hg} = \frac{4A_g}{S_g + S_i} \quad D_{hl} = \frac{4A_l}{S_l} \quad (57)$$

$$Re_g = \frac{\rho_g D_{hg} |V_g|}{\mu_g} \quad Re_l = \frac{\rho_l D_{hl} |V_l|}{\mu_l} \quad (58)$$

منظور مشاهده امواج ریز با دامنه کوتاه، نمودار بزرگنمایی شده و محدوده کسر حجمی بین $0/595$ تا $0/605$ انتخاب شد. این مرحله بیانگر شروع ناپایداری کلوین هلمهلتز بوده و در زمان های بالاتر موج رشد می نماید و اسلág تشکیل می شود. در شکل ۷ مقایسه ای بین تاریخچه زمانی حرکت اسلág و یک سری نتایج آزمایشگاهی [۳۳] نشان داده شده است. در شکل ۸ مقایسه ای بین تاریخچه زمانی حرکت اسلág و یک سری نتایج آزمایشگاهی دیگر با شرایط اولیه متفاوت، برگرفته از مرجع [۳۴]، نشان داده شده است. در شکل های ۷ و ۸ فقط ناحیه ۳ از اسلág که در ابتدای این قسمت توضیح داده شد مورد تأکید قرار گرفته که این امر به دلیل محدودیت تجهیزات آزمایشگاهی است. ترتیب و تغییرات مشاهده شده در پلات های نتایج عددی و مقایسه آنها با عکس های تجربی بیانگر هم خوانی خوب کیفی نتایج و ردگیری خوب موقعیت مکانی اسلág در کانال است.

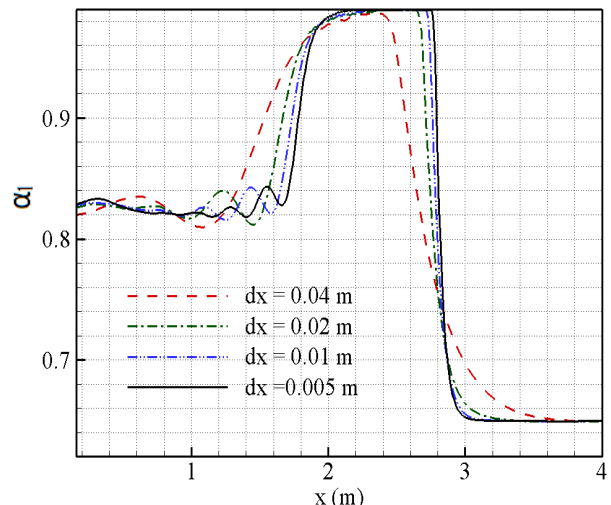


شکل ۵ نمایی از سه ناحیه مختلف در زمان شروع اسلág طبق نظریه ارائه شده در مرجع [۳۴]



شکل ۶ نتایج عددی لحظات اولیه شروع رشد اسلág $V_g = 14 \text{ m/s}$, $V_t = 1 \text{ m/s}$

ورودی کانال معرفی شده است. شرایط ورودی ثابت درنظر گرفته شده است و متاثر از تغییرات داخل کانال نیست. فشار مرز خروجی معادل فشار اتمسفریک لحاظ گردید. فرضیات مربوط به سرعت گاز و مایع بایستی به دقت از نقشه جریان مانولیس [۳۲] استخراج شود تا ایجاد اسلág تضمین گردد. در این محاسبات در شرایط اتمسفریک چگالی مایع و گاز به تقریب 1000 و 1 درنظر گرفته شد. دمای محیط هم 25 درجه سانتی گراد است. شکل عمومی کانال در شکل ۳ آمده است. در ادامه استقلال از شبکه محاسباتی برای مسئله اسلág بررسی شده است. نتایج این بررسی در شکل ۴ نشان داده شده است. نتایج همگرایی بیانگر آن است که بین $\Delta x = 10 \text{ mm}$ و $\Delta x = 5 \text{ mm}$ اختلاف چندانی به چشم نمی خورد. بنابراین برای ادامه محاسبات $\Delta x = 10 \text{ mm}$ لحاظ شد.



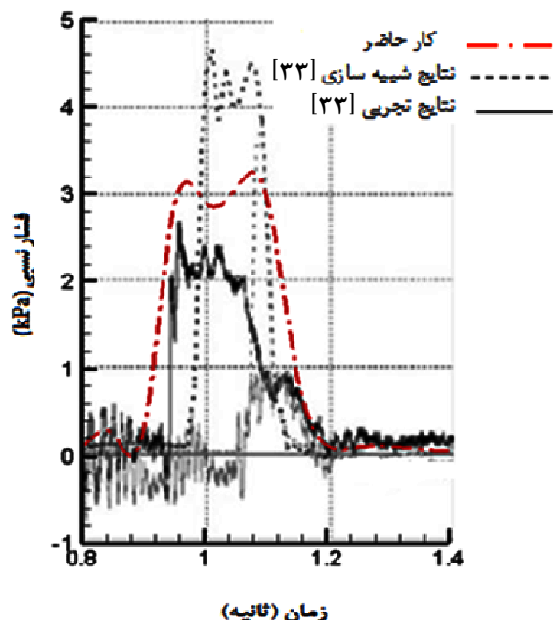
شکل ۴ مطالعه همگرایی جواب ها برای یک مسئله ناپایداری هیدرودینامیکی اسلág

۲-۲-۵- شروع و توسعه اسلág

در زمان شروع و توسعه ناپایداری کلوین- هلمهلتز، سه ناحیه مختلف در کانال قبل تشخصیس است. در ناحیه ۱، سطح مشترک کمی به سمت پایین کشیده می شود که این پدیده به دلیل افزایش جزئی فشار در ورودی در لحظات اولیه است. در ناحیه دوم، تعدادی امواج کوتاه در فصل مشترک ایجاد می شود و در نهایت یک موج بلند در ناحیه سوم شکل می گیرد.

شکل ۵ به صورت شماتیک و شکل ۶ نتیجه عددی شروع ناپایداری و رشد آن را در زمان های اولیه نمایش می دهد. به

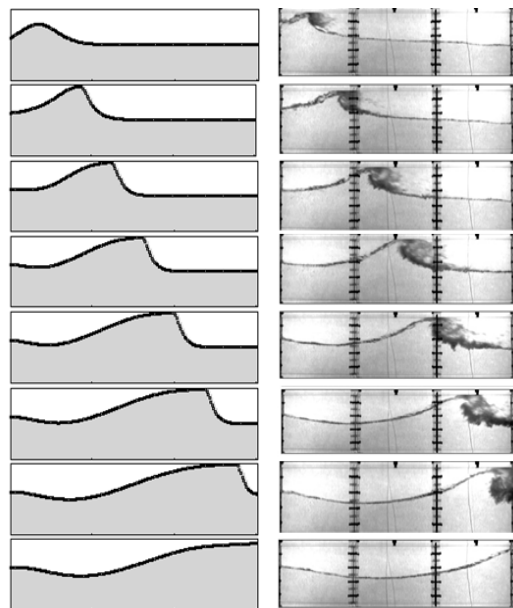
در شبیه‌سازی کار حاضر مقدار پیک فشاری کمی بیشتر از مقادیر آزمایشگاهی پیش‌بینی شده است. البته اختلاف بین نتایج کار حاضر با مقادیر واقعی، کمتر از اختلاف نتایج [۳۳] است و در مجموع نتایج کار حاضر همخوانی بیشتری با نتایج آزمایشگاهی به نسبت نتایج شبیه‌سازی با نرم‌افزار انسیس [۳۳] دارد.



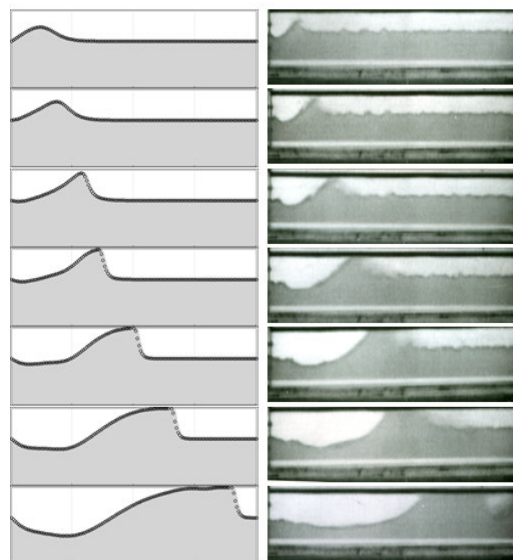
شکل ۹ بررسی تغییرات لحظه‌ای فشار ناشی از حرکت اسلág در کanal و مقایسه با نتایج تجربی و نتایج شبیه‌سازی [۳۳]

در شکل ۱۰ نمودار ردگیری لحظه‌ای موقعیت مکانی اسلág در طول کanal نشان داده شده است. در این شکل، نتایج عددی کار حاضر با مقادیر تجربی و نتایج شبیه‌سازی [۳۳] مقایسه شده است. نتایج بیانگر آن است که روش عددی حاضر از دقت نسبتاً بالایی در ردگیری و تعیین موقعیت مکانی اسلág برخوردار است. در شکل ۱۱ توزیع کمیت‌های سرعت گاز، سرعت مایع، کسر حجمی و فشار در داخل کanal در زمان‌های ۰/۹ تا ۰/۰ ثانیه نشان داده شده است. طبق این نتایج موارد ذیل استخراج می‌شود:

مقادیر فشار در شکل ۱۱ در فواصل زمانی یکسانی رسم شده است. نتایج بیانگر آن است که در زمان‌های اولیه شروع اسلág بازیافت فشار به کندی صورت می‌گیرد (هوای بالای سطح آب حرکت می‌کند و مسیر گذر آن هنوز باز است). کمی بعد، بازیافت فشار به سرعت افزایش می‌یابد تا اینکه مسیر کanal



شکل ۷ تصویر سمت چپ: نتایج شبیه‌سازی عددی کار حاضر، تصویر سمت راست: نتایج تجربی [۳۳]

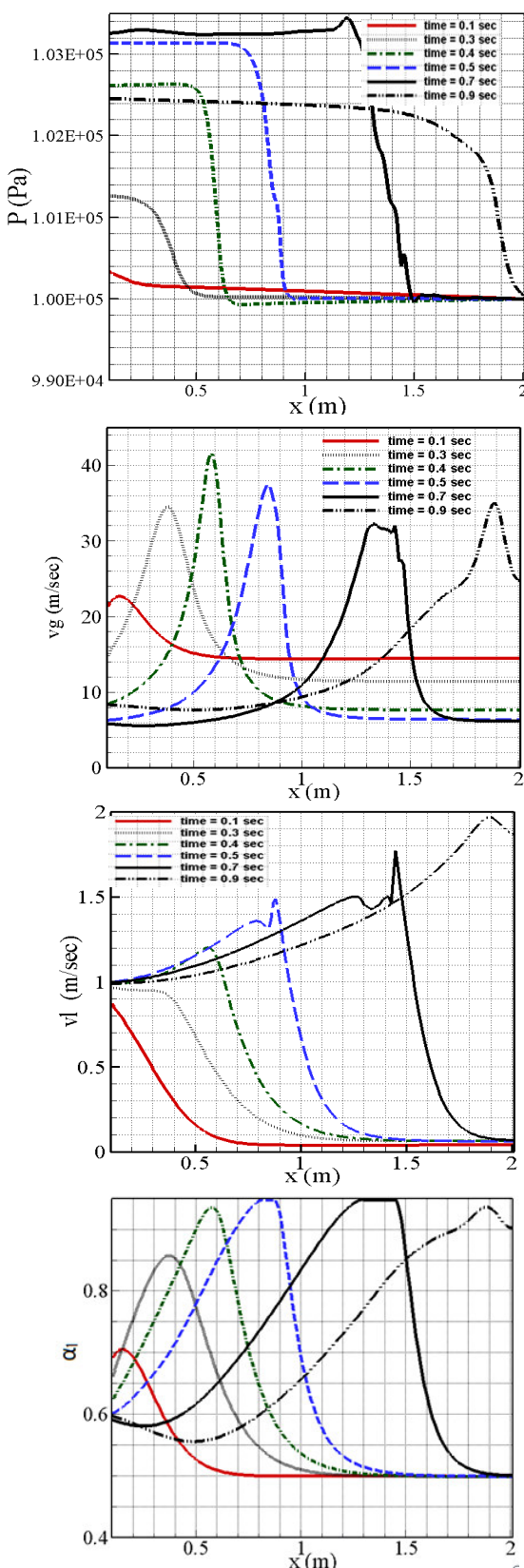


شکل ۸ تصویر سمت چپ: نتایج شبیه‌سازی عددی کار حاضر، تصویر سمت راست: نتایج تجربی [۳۴]

در شکل ۹ تغییرات لحظه‌ای فشار در یک نقطه از ابتدای کanal بررسی شده و با نتایج تجربی و نتایج شبیه‌سازی عددی با نرم‌افزار انسیس^۱ [۳۳] مقایسه شده است. مقادیر فشار نشان داده شده در شکل به صورت نسبی^۲ است.

1. ANSYS

2. Gage pressure ($P_{\text{gage}} = P - P_{\text{atm}}$)



شکل ۱۱ توزیع کمیت‌های مختلف داخل کanal در زمان‌های مختلف

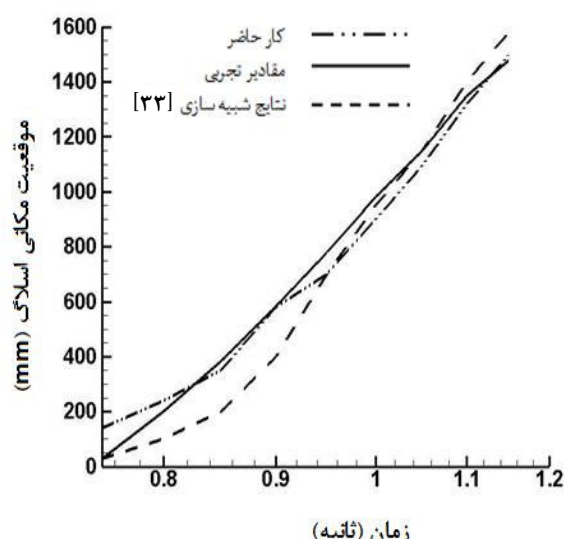
$$V_g = 18 \text{ m/s}, V_l = 0.2 \text{ m/s}, a_g = 0.22$$

توسط مایع پل زده می‌شود و مسیر گذر هوا بسته می‌شود. پس از عبور اسلag و گذشت زمان، فشار در کanal دوباره افت می‌کند. این نتیجه به نحوی دیگر در شکل ۹ نیز قابل ملاحظه است با این تفاوت که در شکل ۹ تغییرات فشار در یک نقطه نشان داده شده است.

اختلاف فشار بین بالادست و پایین‌دست اسلag سرعت حرکت اسلag را تحت تاثیر قرار می‌دهد. سرعت مایع (اسlag) در مدت زمان کوتاهی افزایش می‌یابد که می‌تواند نیروی ضربه‌ای زیادی را تولید نماید (شکل ۱۱). این نوع از اسلag و نحوه شتاب‌گیری آن می‌تواند خطرناک باشد و سبب آسیب‌رساندن تدریجی یا آنی به تجهیزات پایین‌دست کanal شود.

در خلال شکل‌گیری پدیده اسلag، موج مایع ابتدا با سقف کanal تماس پیدا می‌کند (شکل ۱۱). این موقعیت تحت عنوان موقعیت مکانی اسلag نامیده می‌شود. فشار در این موقعیت کمترین مقدار در طول کanal است. این کمترین فشار (در مقایسه با دیگر نقاط) به بلندشدن موج کمک بیشتری می‌کند. این اثر حالتی مشابه تاثیرات برنولی در مقابله با اثرات جاذبه است.

بعد از شروع اسلag سرعت مایع افزایش می‌یابد. در این حالت اسلag شتاب زودرسی را تجربه می‌کند که به واسطه اختلاف بین فشارها و نیروهای ممتنم بالادست و پایین‌دست هواست (شکل ۱۱).



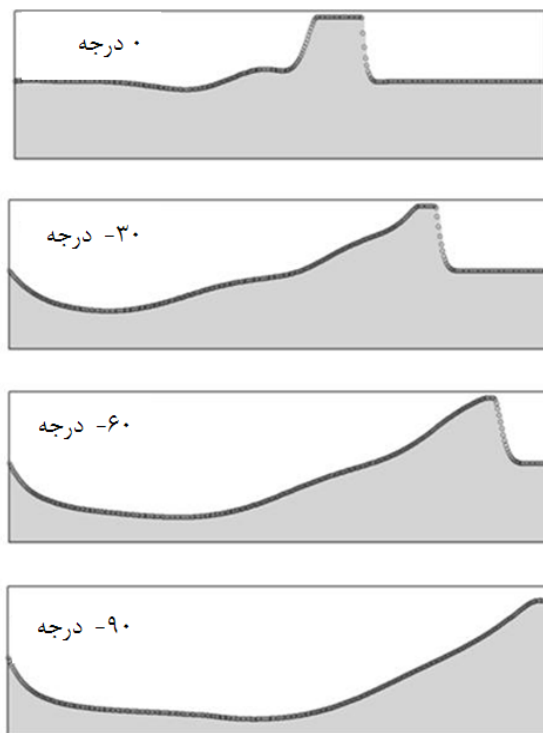
شکل ۱۰ ردگیری لحظه‌ای موقعیت مکانی اسلag در کanal افقی و مقایسه با نتایج تجربی و نتایج شبیه‌سازی [۳۲]

نیاز برای انجام محاسبات اندک و در حد چند دقیقه می‌باشد. به منظور صحت‌سنجی اولیه کد مسئله واتر فاوت بـکار گرفته شد که بـیانگر عملکرد خوب و غیرنوسانی مدل است. نتایج عددی برای مدل سازی ناپایداری هیدرودینامیکی اسلاگ با نتایج تجربی و آزمایشگاهی مختلف مقایسه گردید و مشاهده شد روش عددی حاضر از توانایی بالایی در ردگیری اسلاگ و تعیین موقعیت دقیق اسلاگ در کanal برخوردار است. از نظر پیش‌بینی توزیع فشار و تغییرات لحظه‌ای فشار نیز روش حاضر از دقت خوبی برخوردار بوده و مقایسه به عمل آمده با نتایج عددی شبیه‌سازی دو بعدی با نرم‌افزار انسیس [۳۳] بـیانگر دقت بهتر روش عددی حاضر است. ضمناً نتایج حاکی از آن است که اختلاف فشار بالادست و پایین‌دست اسلاگ سرعت اسلاگ را تحت تاثیر قرار می‌دهد و این اختلاف فشار عامل اصلی حرکت اسلاگ است. اثرات زاویه شبیب کanal بر جریان اسلاگ نیز مطالعه شد. مشاهده شد هر چه قدر شبیب بـیشتر باشد، اسلاگ در موقعیت دور دست‌تری تشکیل می‌شود.

۷- مراجع

- [1] Johnson G. W., *A Study of Stratified Gas-Liquid Pipe Flow*, PhD Thesis, University of Oslo, 2005.
- [2] Taitel Y., Barnea D., "Effect of Gas Compressibility on a Slug Tracking Model", *Chemical Engineering Science*, Vol. 53, 1998, pp. 2089-2097.
- [3] Nydal O. J., Banerjee S., "Dynamic Slug Tracking Simulations for Gas-Liquid Flow in Pipelines", *Chemical Engineering Communication*, Vol. 141, 1996, pp. 13-39.
- [4] Kjolaas J., *Plug Propagation in Multiphase Pipelines*, PhD Thesis, Norwegian University of Science and Technology, 2007.
- [5] Hu B., Stewart C., Manfield P. D., Ujang P. M., Hale C. P., Lawrence C. J., Hewitt G. F., "A Model for Tracking the Evolution of Slugs and Waves in Straight Pipelines", *Sixth International Conference on Multiphase Flow*, Leipzig, Germany, 2007.
- [6] Leebeeck A. De Nydal O. J., "Simulation of Large Amplitude Waves in a Slug Tracking Scheme Compared to Roll Wave Experiments at High Pressure", *International Journal of Multiphase Flow*, Vol. 36, Issue 1, January 2010, pp. 40-50
- [7] Bendiksen K. H., Espedal M., "Onset of Slugging in Horizontal Gas-Liquid Pipe Flow", *International Journal of Multiphase Flow*, Vol. 18, 1992, pp. 237-247.

شکل ۱۲ تاثیرات زاویه کanal را بر روی ناپایداری هیدرودینامیکی نمایش می‌دهد. همان‌طور که ملاحظه می‌شود، زوایای منفی شبیب (شبیب به سمت پایین) سبب پایداری بـیشتر جریان و تاخیر شکل گیری اسلاگ می‌شود. ضمناً روش عددی حاضر محدودیتی از نظر شبیب کanal ندارد و تا زاویه ۹۰-درجه هم امکان انجام محاسبات وجود دارد (شکل ۱۲). این در حالی است که بر اساس دانش نویسنده، در مطالعات قبلی انجام شده، فقط زوایای اندک مطالعه شده است.



شکل ۱۲ تاثیر شبیب بر ناپایداری جریان، زمان ۱/۲ ثانیه

$$Vg = 19 \text{ m/sec}, V_t = 0.6 \text{ m/s}$$

۶- جمع‌بندی و نتیجه‌گیری

در این مقاله، از مدل دوسیالی دوفازی هیپربولیک برای مدل سازی و تحلیل ناپایداری هیدرودینامیکی اسلاگ در کanal افقی استفاده شد. مدل هفت معادله‌ای با روش عددی AUSMDV حل گردید. از دقت مرتبه ۲ زمانی و مکانی استفاده شده و گسسته‌سازی مناسبی بر اساس تئوری جدید بقای در راستای مسیر دلخواه برای جمله‌های ناپایدار ارائه شد. روش به کار برده شده در این مقاله آسان بوده و زمان مورد

- Model”, *Computers & Fluids*, Vol. 32, 2003, pp. 1497-1530.
- [22] Chang C. H., Liou M. S., “A Robust and Accurate Approach to Computing Compressible Multiphase Flow: Stratified Flow Model and AUSM⁺-UP Scheme”, *Journal of Computational Physics*, Vol. 225, 2007, pp. 840-873.
- [23] Evje S., Flatten T., “Hybrid Flux-Splitting Schemes for a Common Two-Fluid Model”, *Journal of Computational Physics*, Vol. 192, 2003, pp. 175-210.
- [24] Bestion D., “The Physical Closure Laws in the Cathare Code”, *Nuclear Engineering and Design*, Vol. 124, 1990, pp. 229-245.
- [25] Wada Y., Liou M. S., “A Flux Splitting Scheme with High-Resolution and Robustness for Discontinuities”, *AIAA 94-0083*, 1994.
- [26] Paillere H., Corre C., Cascales J. R. G., “On the Extension of the AUSM⁺ Scheme to Compressible Two-Fluid Models”, *Journal Computer and Fluids*, Vol. 32, 2003, pp. 891-916.
- [27] Munkejord S. T., “Comparison of Roe-Type Methods for Solving the Two-Fluid Model with and without Pressure Relaxation”, *Computers & Fluids*, Vol. 36, 2007, pp. 1061-1080.
- [28] Munkejord S. T., “A Numerical Study of Two-Fluid Models with Pressure and Velocity Relaxation”, *Advances in Applied Mathematics and Mechanics*, Vol. 2, 2010, pp. 131-159.
- [29] Ransom V. H., “Numerical Benchmark Tests”, *Multiphase Science Technology*, Vol. 3, 1987, pp. 465-473.
- [30] Issa R. I., Bonizzi M., Barbeau S., “Improved Closure Models for Gas Entrainment and Interfacial Shear for Slug Flow Modeling in Horizontal Pipes”, *International Journal of Multiphase Flow*, No. 32, 2006, pp. 1287-1293.
- [31] Andritsos N., Hanratty T. J., “Influence of Interfacial Waves in Stratified Gas-Liquid Flows”, *AIChE Journal*, Vol. 33, 1987, pp. 444-454.
- [32] Manolis I. G., Mendes-Tatsis, M. A., Hewitt, G. F., “The Effect of Pressure on Flow Pattern Transition and Pressure Gradient in Two-Phase Horizontal Slug”, *IChE Research Event*, Edinburgh, UK, 1995a.
- [33] Vallée C., Hohne T., Prasser H. M., Suhnel T., “Experimental Investigation and CFD Simulation of Horizontal Stratified Two-Phase Flow Phenomena”, *Nuclear Engineering and Design*, Vol. 238, 2008, pp. 637-646.
- [34] Ansari M. R., *Slug Mechanism in Horizontal Duct and Simulation Based on One Dimensional Two-Fluid Dynamics*, PhD Thesis, Tsukuba University, Japan, 1989.
- [8] Bendiksen K. H., Malnes D., Moe R., Nuland S., “The Dynamic Two-Fluid Model OLGA: Theory and Application”, *SPE Prod. Eng.*, Vol. 6, 1991, pp. 171-180.
- [9] Issa R. I., Kempf M. H. W., “Simulation of Slug Flow in Horizontal and Nearly Horizontal Pipes with the Two-Fluid Model”, *International Journal of Multiphase Flow*, Vol. 29, 2003, pp. 69-95.
- [10] Bonizzi M., Issa R. I., “On the Simulation of Three-Phase Slug Flow in Nearly Horizontal Pipes using the Multi-Fluid Model”, *International Journal of Multiphase Flow*, Vol. 29, 2003, pp. 1719-1747.
- [11] Bonizzi M., Andreussi P., Banerjee S., “Flow Regime Independent, High Resolution Multi-Field Modelling of Near-Horizontal Gas-Liquid Flows in Pipelines”, *International Journal of Multiphase Flow*, Vol. 35, 2009, pp. 34-46.
- [12] Ansari M. R., “Numerical Analysis for Slugging of Steam-Water Stratified Two-Phase Flow in Horizontal Duct”, *Fluid Dynamics Research*, Vol. 22, 1998, pp. 329-344.
- [13] Kadri U., Mudde R. F., Oliemans R. V. A., Bonizzi M., Andreussi P., “Prediction of the Transition from Stratified to Slug Flow or Roll-Waves in Gas-Liquid Horizontal Pipes”, *International Journal of Multiphase Flow*, Vol. 35, 2009, pp. 1001-1010.
- [14] Salhi Y., Si-Ahmed E., Legrand J., Degrez G., “Analysis of Inclined Stratified Two-Phase Gas Liquid Flow”, *Nuclear Engineering and Design*, 2010, Doi: 10.1016/J.Nucengdes. 2009.12.027.
- [15] Holmas H., “Numerical Simulation of Transient Roll-Waves in Two-Phase Pipe Flow”, *Chemical Engineering Science*, Vol. 65, 2010, pp. 1811-1825.
- [16] Ishii M., *Thermo-Fluid Dynamic Theory of Two-Phase Flow*, Eyrolles, Paris, 1975.
- [17] Saurel R., Abgrall R., “A Multiphase Godunov Method for Compressible Multi-Fluid and Multiphase Flows”, *Journal of Computational Physics*, Vol. 150, 1999, pp. 425-67.
- [18] Baer M. R., Nunziato, J. W., “A Two-Phase Mixture Theory for the Deflagration-to-Detonation Transition (DDT) in Reactive Granular Materials”, *International Journal of Multiphase Flow*, Vol. 12, 1986, pp. 861-889.
- [19] Parés C., “Numerical Methods for Non-Conservative Hyperbolic Systems: A Theoretical Framework”, *SIAM Journal Numerical Analysis*, Vol. 44, 2006, pp. 300-321.
- [20] Liou M. S., Steffen C. J., “a New Flux Splitting Scheme”, *Journal of Computational Physics*, Vol. 107, 1993, pp. 23-29.
- [21] Evje S., Fjelde K. K., “On a Rough AUSM Scheme for a One-Dimensional Two-Phase Flow